

存在明显的遗传独立特性,可能与种质表型相关。本研究中浙江和江苏地区的半夏大多植株较矮,叶形宽,类椭圆形,中间叶片的长宽比在1:1~3:1,与其他地区栽培品种差异明显(表1)。本课题组已有关于不同叶形的半夏在栽培习性、有效成分的量及光合效率上存在差异的报道^[1],而不同表型的半夏与其DNA指纹、药效的相关性有待进一步研究。

References:

- [1] Hu Q, Tao S S. The latest progress of study and development on *Pinellia ternata* [J]. *J Southwest Univ Sci Technol* (西南科技大学学报), 2005, 20(1): 63-68.
- [2] Li L. Micromorphological characteristics and enzyme analysis of some Chinese *Pinellia* and their taxonomic significance [J]. *Acta Bot Yunnan* (云南植物研究), 1999, 21(4): 442-448.
- [3] Guo Q S, Shen W B, Liu L, et al. Analysis on characteristic zymogram phenotypes of esterase and superoxide dismutase from the laminae in populations of *Pinellia ternata* (Thunb.) Breit [J]. *J Plant Res Environ* (植物资源与环境学报), 2001, 10(2): 42-46.
- [4] Liu Y P, Cao H, Wang X T. Application of gene technology in quality control of Chinese drugs (1)—Identification of *Pinellia ternata* species from Yuncheng, Shandong using DNA sequencing [J]. *Chin J Pharm Anal* (药物分析杂志), 2001, 21(6): 423-426.
- [5] Du J, Ma X J, Li X D, et al. AFLP Fingerprinting of *Pinellia ternata* and its application [J]. *China J Chin Mater Med* (中国中药杂志), 2006, 31(1): 30-33.
- [6] Vos P, Hogers R, Zabeau M, et al. AFLP: a new technique for DNA-fingerprinting [J]. *Nucl Acids Res*, 1995, 21: 4407-4414.
- [7] Hongtrakul V, Huestis G, Knapp S J, et al. Amplified fragment length polymorphisms as a tool for DNA fingerprinting sunflower germplasm: genetic diversity among oilseed inbred lines [J]. *Theor Appl Genet*, 1997, 95: 400-407.
- [8] Doyle J J, Doyle J L. Isolation of plant DNA from fresh tissue [J]. *Focus*, 1990, 12: 13-15.
- [9] Tian Q Z, Gai Y J, Yu D Y, et al. AFLP Fingerprint analysis of *G. soja* and *G. max* in China [J]. *Sci Agric Sin* (中国农业科学), 2001, 34(5): 465-468.
- [10] Kong Q S, Li X X, Xiang C P, et al. Phylogenetic analysis of cultivated Radish (*Raphanus sativus* L.) germplasm with AFLP [J]. *Sci Agric Sin* (中国农业科学), 2005, 38(5): 1017-1023.
- [11] Chen J S. *Molecular Diagnose on Plant Virus of Araceae and Pinellia ternata Related Research* (天南星科植物病毒的分子诊断和半夏研究) [M]. Hangzhou: Zhejiang University Press, 2006.

玉郎伞与水罗伞的生药学比较研究

戴斌¹,丘翠娟¹,戴向东²,杨东爱¹

(1. 广西民族医药研究所,广西南宁 530001; 2. 广西食品药品检验所,广西南宁 530021)

摘要:目的 比较广西壮、瑶医常用药材玉郎伞 *Millettia pulchra* var. *laxior* 与易混品种水罗伞(干花豆) *Fordia cauliflora* 的生药鉴别特征。方法 宏观(植物形态、药性性状)、微观(显微组织)及光谱、色谱技术分析方法。结果 玉郎伞与水罗伞除紫外吸收光谱较相似外,其植物形态、药材性状、显微组织及薄层色谱均有各自的鉴别特征。结论 研究结果为该类药材的鉴定、质量标准的制定和进一步开发利用提供了科学依据。

关键词:玉郎伞;疏叶崖豆;水罗伞;生药鉴定

中图分类号:R282.7 **文献标识码:**A **文章编号:**0253-2670(2007)12-1889-04

Comparative study on pharmacognostics between root of *Millettia pulchra* var. *laxior* and *Fordia cauliflora*

DAI Bin¹, QUI Cui-chang¹, DAI Xiang-dong², YANG Dong-ai¹

(1. Guangxi Institute of National Medical Research, Nanning 530001, China; 2. Guangxi Institute of Food and Drug Control, Nanning 530021, China)

Key words: the root of *Millettia pulchra* Kurz var. *laxior* (Dunn) Z. Wei; *Millettia pulchra* Kurz var. *laxior* (Dunn) Z. Wei; *Fordia cauliflora* Hemsl.; identification of crude drugs

玉郎伞为豆科植物疏叶崖豆 *Millettia pulchra* (Dunn) Kurz var. *laxior* (Dunn) Z. Wei 的干燥根^[1],始见于《广西中药志》^[2],为广西壮、瑶医常用

药材,亦称小牛力、土甘草、大罗伞、土茯神及荔枝参等。用于治疗小儿疳积、产后及病后虚弱、跌打肿痛、骨折、风湿关节肿痛、中风偏瘫、小儿智力低下及老

收稿日期:2007-02-02

基金项目:国家自然科学基金资助;广西自然科学基金匹配项目(39860082)后续成果

作者简介:戴斌(1938—),男,广西恭城人,1964年毕业于北京医学院药学系,主任药师,主要从事中药、民族药生药学及质量标准研究工作。E-mail: gchys@163.com

年痴呆等症,具有活血散瘀、消肿止痛、宁神的功效。近年研究表明,本品提取物(粗多糖)具有抗衰老及抗痴呆等药理作用^[3,4]。据笔者调查,本品在临床应用中,常与同科植物水罗伞(干花豆) *Fordia cauliflora* Hemsl. 相混淆,后者亦称土甘草、玉郎伞等,存在着同名异物或同物异名状况。前已报道水罗伞的生药学及活性成分研究^[5~7]。为了查清玉郎伞的植物来源,笔者深入产区采集原植物标本及药用部位和收集临床用药样品,进行了生药学及紫外吸收光谱、薄层色谱等的比较鉴别研究。为该药材质量标准的修订及进一步开发利用提供了科学依据。

1 材料、仪器及试药

1.1 材料:玉郎伞采于广西那坡县(970105-2524)、南宁(970109-2545)和靖西县(980001-2610);水罗伞采于广西天等县(980002-2611)及南宁(980004-2618),经笔者鉴定分别为豆科植物疏叶崖豆 *Millettia pulchra* Kurz var. *laxior* (Donn) Z. Wei^[1,2]和水罗伞 *Fordia cauliflora* Hemsl^[5]。药材样品(饮片)收集于本所壮医医院(2545-2,玉郎伞;2544 水罗伞)。

1.2 试药试剂:水黄皮素(karanjin)、3'-甲氧基水黄皮素(3'-methoxykaranjin)对照品从水罗伞提取分离得到^[6,7]。质量分数分别为98.76%、98.08%(HPLC 峰面积归一法计算)。甲醇、乙醇、醋酸等均为分析纯。

1.3 仪器:XST—2A 三功能生物显微镜(江南)、UV—2401PC 紫外可见分光光度计(日本岛津)。

2 原植物形态

根据玉郎伞植物标本(970109-2545,980001)并参考文献描述^[1,2]。直立灌木,高30~360 cm。根长条圆柱状,横走,直径2~5 cm,表面淡黄色具横线状皮孔,肉质,易折断,断面白色,颗粒性,木部有淡黄色小点散在。地上茎密布棕色点状皮孔,奇数羽状复叶互生,常聚集于茎顶部,叶轴长15~30 cm,叶柄基部两侧有钻形线状托叶1对,长4~7 mm。叶轴上有对生小叶9~13片,纸质,近无毛或被疏白色短柔毛。小叶矩圆形、披针状椭圆形或长圆形,长4~15 cm,宽2~4 cm,全缘,先端尾尖或急尖,基部圆钝或宽楔形;小叶柄长4 mm,被疏柔毛,基部有钻形小托叶1枚,长2~3 mm。类总状花序多生于当年的新茎枝的叶腋上,被疏柔毛,花3~5朵簇生于节上;花萼钟状,紫红色,长约4 mm,被短柔毛,先端有5钝齿;小萼片2枚,披针形,长约1 mm,与萼贴生;花冠蝶形,紫红色或粉红色,花瓣

有爪;雄蕊10,二体,长约12 mm;子房柱状,外面被柔毛,长约10 mm,柱头头状。荚果线状长椭圆形,长5~10 cm,宽1~1.4 cm,扁平,被紧贴柔毛,成熟后近无毛,内有种子1~5粒。花期6~10月,果期12月。生于丘陵及山坡边缘或灌丛中,亦有栽培。分布于广西、广东、海南、湖南、江西、福建、贵州、云南及台湾,印度亦有。

玉郎伞与水罗伞的原植物十分相似。不同点是水罗伞根颜色较深,表面较粗糙,断面纤维性。总状花序自茎干上生出,花萼外面基部有两个圆形腺体。

3 药材性状

玉郎伞呈圆柱形,略弯曲,直径1.5~5 cm,表面淡黄色至棕黄色,具不规则的纵沟纹及横向略凸起的线状皮孔。体重质坚实,不易折断,折断面颗粒性。切面皮部淡黄色至棕色。木部类白色或浅黄白色,具粉性,有略凸起的棕黄色小点及细孔(纤维束及导管)散在,有的可见淡黄色至棕黄色树脂状分泌物,气微,味微甜。

玉郎伞与水罗伞药材相似。不同点是后者外表颜色较深(淡棕色至棕褐色),稍粗糙,质坚硬,断面纤维性,切面有黄白色相间的放射状纹理及细孔。

4 显微鉴定

4.1 根横切面(直径8 mm):木栓层由6~10余列扁平长方形细胞组成,细胞排列整齐;皮层有石细胞群及纤维束散在或断续列成环状,其周围薄壁细胞中含有草酸钙方晶。韧皮部有纤维单个或数个成束散在,周围薄壁细胞含有草酸钙方晶形成晶纤维,韧皮射线宽3~10余列细胞;形成层细胞1~2列;木质部导管多单个或2~3个相聚散在或作径向排列,周围有1~2列木化网纹细胞。木纤维束散在或作径向排列并断续列成同心性环带,周围薄壁细胞含有草酸钙方晶,薄壁组织充满淀粉粒,有草酸钙方晶散在(图1)。

4.2 粉末:黄白色。石细胞较多,单个或成群,淡黄色,类圆形、类长方形或钝三角形,直径25~69 μm,细胞壁极厚,包腔狭小,孔沟及层纹明显,木化;草酸钙方晶较多,方形,长方形,棱形或多面形,直径12~62 μm;韧皮纤维较多,单个或成束,略弯曲,直径9~12 μm,壁甚厚(约5 μm),胞腔狭少,末端长尖;木纤维束较少,长条梭形,末端钝尖或长尖,直径10~20 μm,壁厚3~6 μm,胞腔及孔沟明显,周围薄壁细胞常含有草酸钙方晶。导管较少,长50~120 μm,直径15~75 μm,末端平截或斜尖,有具缘纹孔和网纹孔,纹孔排列较紧密,导管周围常有木化网纹

细胞，方形、长方形或类圆形，长 $37\sim75\text{ }\mu\text{m}$ ，宽 $25\sim37\text{ }\mu\text{m}$ ，壁不均匀增厚，具网纹孔，孔沟明显。木栓细胞较少，浅黄棕色，表面观类圆形、类方形或多边形，细胞壁略增厚。淀粉粒极多，单粒类圆形，半球形或类三角形，直径 $6\sim28\text{ }\mu\text{m}$ ，脐点点状，人字状，十字状或星状，层纹不明显，复粒由 $2\sim4$ 分粒组成（图2）。

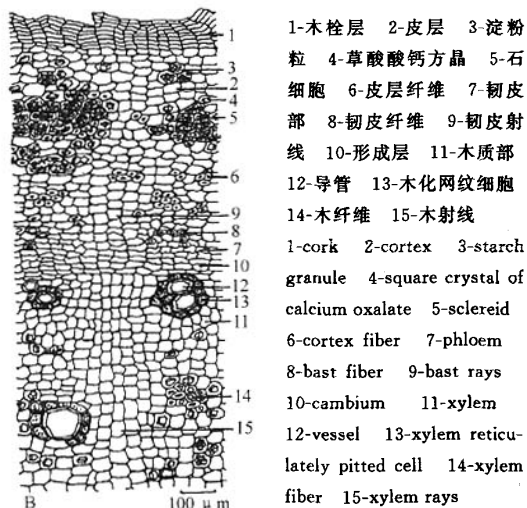


图1 玉郎伞根横切面组织图

Fig. 1 Transverse of root of *M. pulchra* var. *laxior*

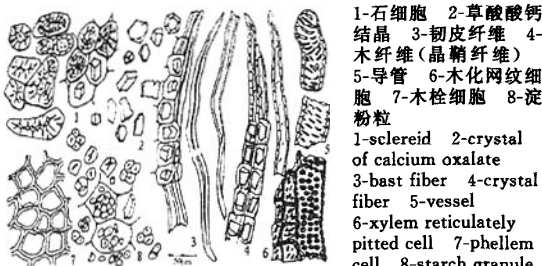


图2 玉郎伞粉末组织图

Fig. 2 Powder of root of *M. pulchra* var. *laxior*

玉郎伞与水罗伞的组织很相似。其主要不同点是，后者横切面皮层组织石细胞较少，石细胞壁稍薄，胞腔明显；韧皮部纤维束较多，常作径向排列并断续列成 10 余层同心性环带^[5]。

5 理化鉴别

5.1 紫外吸收光谱：取供试品粉末 1 g ，加入 40 mL 甲醇回流 10 min ，滤过，吸取滤液 1 mL 置 25 mL 量瓶中，加甲醇稀释至刻度，摇匀 (1 mg/mL) 。于 $200\sim400\text{ nm}$ 波长扫描，得紫外吸收光谱图，见图3。说明玉郎伞、水罗伞与水黄皮素对照品的光谱图基本一致，在波长 $260\text{,}(301\pm2)\text{ nm}$ 处均有最大吸收峰，但玉郎伞的吸光度值较低。

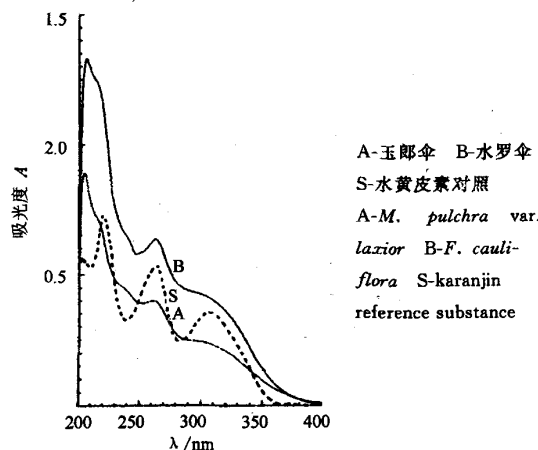


图3 玉郎伞和水罗伞紫外吸收光谱图

Fig. 3 UV Spectrum of root of *M. pulchra* var. *laxior* and *F. cauliniflora*

5.2 薄层色谱：取供试品 5 g ，加氯仿 50 mL ，回流提取 1 h ，滤过，滤液蒸干，残渣加乙醇 5 mL 使溶解，作为供试品溶液。另取对照品水黄皮素(S_1)、 $3'$ -甲氧基水黄皮素(S_2)，加乙醇分别制成 1 mg/mL 的对照品溶液。吸取供试品溶液及对照品溶液各 $5\text{ }\mu\text{L}$ ，分别点于同一 0.5% 羧甲基纤维素钠-硅胶G薄层板上，以环己烷-丙酮(75:25)为展开剂，展开，取出，晾干，喷以稀碘化铋钾与碘化钾试液的等量混合液。结果玉郎伞供试品色谱中，在与水黄皮素对照品(S_1)色谱相应的位置上，显相同的蓝色斑点(R_f 值 0.70)，而无 $3'$ -甲氧基水黄皮素对照品(S_2)色谱斑点；水罗伞供试品色谱中，在与水黄皮素和 $3'$ -甲氧基水黄皮素对照品色谱相应的位置上，均显相同的蓝色斑点(R_f 值 $0.70, 0.65$)（图4）。

6 讨论

6.1 玉郎伞与水罗伞为同科不同种植物的根，其生

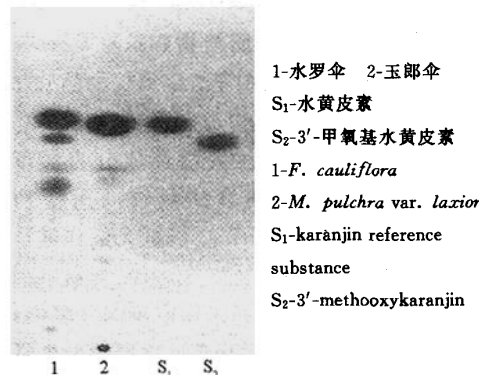


图4 玉郎伞和水罗伞的 TLC 图

Fig. 4 TLC spectrum of *M. pulchra* var. *laxior* and *F. cauliniflora*

药学特性和化学成分不完全一致,有各自明显鉴别特征,应予区别,才能保证药物生产、科研及临床用药的准确性。

6.2 玉郎伞和水罗伞均含有与水黄皮素对照品相同的呋喃黄酮类化合物,该 TLC 研究表明玉郎伞未检出 3'-甲氧基水黄皮素对照品色谱斑点,而与水罗伞明显不同。

6.3 玉郎伞和水罗伞的药效作用是否一致? 其益智、抗衰老等药效物质基础有待进一步研究。

References:

- [1] Public Health Department of Guangxi Zhuang Nationality Autonomous Region. Standard for Chinese Medicinal Material of Guangxi (广西中药材标准) [M]. Nanning: Guangxi Science and Technology Publishers, 1992.
- [2] Guangxi Health Department of Guangxi Zhuang Nationality Autonomous Region. Records of Guangxi Traditional Chinese Medicine (广西中药志) [M]. Nanning: Guangxi People's Publishers, 1963.
- [3] Huang Z S, Huang R B, Lin X, et al. The experimental study of LYS polymaccharides on anti-aging [J]. Chin J Curre Tradit West Med (中华现代中西医杂志), 2004, 2 (2): 97-98.
- [4] Huang Z S, Huang R B, Lin X, et al. The effects of Longyanshen polysaccharide on mouse memory function in different mouse dementia models [J]. J Youjiang Med Coll Natl Minorities (右江民族医学院学报), 2004, 26(4): 463-464.
- [5] Dai B, Qin C C, Chen S F. Studies on the pharmacognostics of Shuilusan (*Fordia caulinflora*) [J]. Chin Tradit Herb Drugs (中草药), 2001, 3(25): 456-457.
- [6] Dai B, Qin C C, Dai X D, et al. Chemical components of Shuiluosan (*Fordia caulinflora*) I [J]. Chin Tradit Herb Drugs (中草药), 2003, 34(1): 21-22.
- [7] Dai X D, Yang D A, Dai B, et al. Chemical components of Shuiluosan (*Fordia caulinflora*) II [J]. Chin Tradit Herb Drug (中草药), 2003, 34(5): 212-213.

HPLC 法测定蜘蛛香中缬草素、乙酰缬草素及其分解产物 baldrinal

狄宏晔¹,石晋丽^{1*},闫兴丽¹,赵仁²,刘勇¹,肖培根¹

(1. 北京中医药大学,北京 100029; 2. 云南省药物研究所,云南 昆明 650111)

摘要: 目的 建立测定蜘蛛香药材中缬草素、乙酰缬草素及其分解产物 Baldrinal 的 HPLC 定量分析方法。方法 采用 C₁₈柱,乙腈-水 (60 : 40) 洗脱,体积流量 0.95 mL/min,检测波长 256 nm。结果 测定了 15 批不同产地和收集时间的蜘蛛香药材中 3 个成分的量,且 3 成分的量呈较大差异。结论 本方法简便可行,适用于蜘蛛香药材中缬草素、乙酰缬草素和 Baldrinal 的测定。

关键词: 蜘蛛香; 缬草素; 乙酰缬草素; baldrinal; HPLC

中图分类号: R282.7 **文献标识码:** A **文章编号:** 0253-2670(2007)12-1892-03

Determination of valtrate, acevaltrate, and their degradation product-baldrinal in *Valeriana wallichii* by HPLC analysis

DI Hong-ye¹, SHI Jin-li¹, YAN Xing-li², ZHAO Ren², LIU Yong¹, XIAO Pei-gen¹

(1. Beijing University of Traditional Chinese Medicine, Beijing 100102, China;

2. Yunnan Institute of Materia Medica, Kunming 650111, China)

Key words: *Valeriana wallichii* DC.; valtrate; acevaltrate; baldrinal; HPLC

蜘蛛香为败酱科缬草属植物蜘蛛香 *Valeriana wallichii* DC. 的干燥根及根茎。该属植物药理作用广泛,作为温和的镇静剂使用由来已久。蜘蛛香中镇静安神、抗抑郁等作用的主要活性成分为缬草素类^[1],其缬草素、乙酰缬草素的量较同属植物为高^[2],且二者分解产物 baldrinal 能更大地降低小鼠自主活动^[3]。蜘蛛香为《中国药典》1977 年版一部收载品种^[4],但对蜘蛛香药材并未作定量测定要求。本实验选择蜘蛛香中量较高且药理活性明确的 3 种有

效成分(缬草素、乙酰缬草素、baldrinal)作为定量指标,采用 HPLC 的外标法,测定了不同采集地和采集时间的多批蜘蛛香药材中上述 3 种成分的量,揭示了蜘蛛香药材中 3 种成分的变化规律,为蜘蛛香的质量控制和合理利用提供了依据。

1 仪器与试药

高效液相色谱仪:Agilent 1100 型高效液相色谱仪(德国 Agilent Technologies)。配二极管阵列检测器和 Chem Station 色谱工作站,四元溶剂系统、在

玉郎伞与水罗伞的生药学比较研究

作者: 戴斌, 丘翠婷, 戴向东, 杨东爱, DAI Bin, QUI Cui-chang, DAI Xiang-dong, YANG Dong-ai
作者单位: 戴斌, 丘翠婷, 杨东爱, DAI Bin, QUI Cui-chang, YANG Dong-ai(广西民族医药研究所, 广西, 南宁, 530001), 戴向东, DAI Xiang-dong(广西食品药品检验所, 广西, 南宁, 530021)
刊名: 中草药 [ISTIC PKU]
英文刊名: CHINESE TRADITIONAL AND HERBAL DRUGS
年, 卷(期): 2007, 38(12)
被引用次数: 2次

参考文献(7条)

1. Public Health Department of Guangxi Zhuang Nationality Autonomous Region 广西中药材标准 1992
2. Guangxi Health Department of Guangxi Zhuang Nationality Autonomous Region 广西中药志 1963
3. Huang Z S;Huang R B;Lin X The experimental study of LYS polymaccharides on anti-aging[期刊论文]-中华现代中西医杂志 2004(02)
4. Huang Z S;Huang R B;Lin X The effects of Longyanshen polysaccharide on mouse memory function in different mouse dementia models[期刊论文]-右江民族医学院学报 2004(04)
5. Dai B;Qin C C;Chen S F Studies on the pharmacognostics of Shuilusan (Fordia cauliflora) 2001(03)
6. Dai B;Qin C C;Dai X D Chemical components of Shuiluosan (Fordia canriflora) I[期刊论文]-中草药 2003(01)
7. Dai X D;Yang D A;Dai B Chemical components of Shuiluosan (Fordia cauliflora) II 2003(05)

引证文献(2条)

1. 简洁. 黄建春. 焦杨. 谭宏棣. 黄仁彬 制备液相色谱分离制备玉郎伞查尔酮类化合物[期刊论文]-中草药 2011(7)
2. 苏青. 黄瑞松. 梁子宁. 覃冬杰. 雷沛霖. 陆峥琳 水罗伞药材的鉴别及水黄皮素的含量测定[期刊论文]-华西药学杂志 2013(1)

本文链接: http://d.wanfangdata.com.cn/Periodical_zcy200712043.aspx